

ソルトフィンガーの非定常流れ

東大・理 石井克哉
楠本淑郎

(Ishii Katsuya, Kusumoto Yoshiro)

§1. はじめに

流体中に、温度・塩分等異な、た拡散係数を持ち流体の密度分布に影響を与える二つの要素がある場合、二重拡散対流と呼ばれる興味ある多くの現象を引き起す。上方において高温で塩分が濃いような温度一塩分勾配をもつ流体中で見い出されるソルトフィンガー（細長いコテム状の対流セル）もその一例である。実験および観測において、こうしたフィンガーは乱れた部分を挟んで上下に幾層かが重なった形をもつと報告されている (Tait & Howe (1968), Stern & Turner (1969))。ソルトフィンガーの安定性及び鉛直方向への層形成の可能性については昨年の数理解析研(ナビエ・ストークス方程式の解、研究会1981.12)で発表したが、今回はその研究に基づいて層の構造の種々の可能性について数値計算の結果を使って考える。基礎とする方程式は拡散項をもつ非線形連立偏

微分方程式であり、同種の方程式は近年捕食問題においても研究されている。

§2、層のモデル方程式

静止流体中で正の一一定の勾配(\bar{T}_z , \bar{S}_z)をもつ温度($\bar{T}_z z$)・塩分($\bar{S}_z z$)場を考える。この時、流体密度 S^* は

$$S^* = S_0 \{ 1 - (\alpha^* \bar{T}_z - \beta^* \bar{S}_z) z \}$$

(S_0 は $z=0$ の密度、 α^*, β^* はそれぞれ温度、塩分の密度変化率)と表せ、 $\alpha^* \bar{T}_z > \beta^* \bar{S}_z$ であれば静的に安定な状態となる。これを Basic state とし、それからのズレ速度(u, v, w)、圧力(p)、温度(T)、塩分濃度(S)を支配する基礎方程式を Boussinesq 近似を用いて求めると

$$\begin{aligned} \frac{1}{\sigma} \frac{D u}{D t} - \nabla^2 u &= - \frac{1}{\sigma} \nabla p + c R_a T - R_s S \hat{z} \\ \frac{D T}{D t} - \nabla^2 T + w &= 0 \\ \frac{D S}{D t} - \lambda \nabla^2 S + w &= 0 \\ \nabla \cdot u &= 0 \end{aligned} \tag{2.1}$$

となる。ここで \hat{z} は鉛直上向きの単位ベクトルであり、Brunt Väisälä frequency $N = [g(\alpha^* \bar{T}_z - \beta^* \bar{S}_z)]^{1/2}$ と熱伝導率 k_T に基づく無次元化を行った。無次元化パラメータは

$$\text{フーリエ数 } \sigma = L/k_T, \text{ 拡散比 } \lambda = k_s/k_T < 1$$

$$\text{レーリー数 } R_a = \frac{\alpha^* \bar{T}_z}{\sigma(\alpha^* \bar{T}_z - \beta^* \bar{S}_z)} \tag{2.2}$$

$$\text{塩分レーリー数 } R_s = \frac{\beta^* \bar{S}_z}{\sigma (\alpha^* \bar{T}_z - \beta^* \bar{S}_z)}$$

である。通常の場合、適当な長さ d を導入してレーリー数。

塩分レーリー数を

$$R_a = \frac{g \bar{T}_z d^4}{\nu k}, \quad R_s = \frac{g \bar{S}_z d^4}{\nu k T} \quad (2.2a)$$

と定義し、 R_s, R_a は独立であるが、Brunt Väisälä frequency を使用したため R_a, R_s は \bar{T}_z / \bar{S}_z のみの関数となる

$$R_a = R_s + \frac{1}{\sigma} \quad (2.3)$$

の関係式を満たす。

ソルトフィンガーに対応する解として Stern(1969) が導いた(2.1)の厳密解は、ソレノイダルな速度場を

$$(u, v, w) = (\phi_{xz}, \phi_{yz}, -\nabla_h^2 \phi) \quad (2.4)$$

$$\nabla_h^2 = \partial_x^2 + \partial_y^2$$

と書き。

$$\phi = A(t) \sin lx \sin ly \quad (2.5)$$

とおくことにより得られる。フィンガーの水平断面は多くの観察に従って正方形とした。フィンガーが成長するための条件は (2.4, 5) を (2.1) に代入することにより

$$R_a < R_s/\lambda - 4l^4 \quad (\equiv R_c) \quad (2.6)$$

と求められる。

σ, λ などのように物質定数により決定される量を定数みなすと、式 (2.3), (2.5) より R_s, l の二つの量を指定

すればフィンガーの場が決定できる。しかし、以下の式の導出をここでの無次元化の特殊性に依存したい形で行うため、 R_a, R_s を独立に変化する量として、supercriticality δ ($0 < \delta \ll 1$) を

$$R_a = R_c (1 - \delta) \quad (2.7)$$

と導入する。*

系がわずかに超臨界状態にある場合、振幅 A の鉛直方向及び時間に対する依存性は $\delta^{\frac{1}{2}}$ あるいは δ に比例するゆきりとした大きなスケールに渡るものとなろう。こうした変化を

* $R_s = R_a - \frac{1}{\sigma}$ の関係がある場合、 R_c に対する臨界状態の意味は明かでない。この関係(2.3)を用いて大きさのフィンガーの安定条件(2.6)を書き直すと

$$R_a > \frac{1 + 4l^4 \lambda \sigma}{\sigma(1 - \lambda)} \quad (\equiv R'_c) \quad (2.6a)$$

となる。この R'_c を使て

$R_a = R'_c(1 + \delta')$, $R_s = R'_c + \frac{1}{\sigma} + R'_c \delta' \equiv R'_{sc} + R'_c \delta'$ と supercriticality δ' を導入した方がここでの無次元化においては自然である。しかし、以下の計算を (δ', R'_c) に基づいて行なうことは $\delta = (\frac{1}{\lambda} - 1)\delta'$ のように(2.7)の supercriticality を変更し、結果の中で $R_s = R'_{sc}$ と見直したものに等しいことが容易にわかる。

これらをため、新しい変数 τ, ς を

$$\tau = \delta t, \quad \varsigma = \delta^{\frac{1}{2}} z \quad (2.8)$$

のように定める。式(2.1)の (t, z) を (ς, τ) により書き直し、 (u, v, w) に (2.3) を代入すると。

$$\begin{aligned} L_0 \phi_{xz} &= -\delta^{\frac{1}{2}} \frac{P_x}{\sigma} - \delta \tilde{L}_1 \phi_{xz} - \frac{\delta^{\frac{1}{2}}}{\sigma} \tilde{N} \phi_{xz} \\ L_0 \phi_{yz} &= -\delta^{\frac{1}{2}} \frac{P_y}{\sigma} - \delta \tilde{L}_1 \phi_{yz} - \frac{\delta^{\frac{1}{2}}}{\sigma} \tilde{N} \phi_{yz} \\ - L_0 \nabla_H^2 \phi &= -\delta^{\frac{1}{2}} \frac{P_z}{\sigma} + \delta \tilde{L}_1 \nabla_H^2 \phi + \frac{\delta^{\frac{1}{2}}}{\sigma} \tilde{N} \nabla_H^2 \phi + R_c T - R_s S - \delta R_c T \\ \tilde{L}_0 T - \nabla_H^2 \phi &= -\delta^{\frac{1}{2}} \tilde{N} T - \delta \tilde{L}_2 T \quad (2.9) \\ \lambda \tilde{L}_0 S - \nabla_H^2 \phi &= -\delta^{\frac{1}{2}} \tilde{N} S - \delta \tilde{L}_3 S \end{aligned}$$

但し

$$\begin{aligned} L_0 &= -\nabla_H^2, \quad \tilde{L}_1 = \frac{1}{\sigma} \partial_\tau - \partial_{zz}, \quad \tilde{L}_2 = \partial_\tau - \partial_{zz}, \quad \tilde{L}_3 = \partial_\tau - \lambda \partial_{zz} \\ \tilde{N} &= \phi_{xz} \partial_x + \phi_{yz} \partial_y - \nabla_H^2 \phi \partial_z \end{aligned}$$

である。物理量 ϕ, P, T, S も $\delta^{\frac{1}{2}}$ のベキ級数で展開し、 $\delta^{\frac{1}{2}}$ の各ベキに対する方程式を求めて解くと、 $O(\delta^{\frac{1}{2}})$ の式よ。

$$\left\{ \begin{array}{l} \phi^{(0)} = A(\tau, \varsigma) \sin kx \sin ly \\ T^{(0)} = -\phi^{(0)} + g(\tau, \varsigma) \\ S^{(0)} = -\phi^{(0)} + h(\tau, \varsigma) \end{array} \right. \quad (2.10)$$

etc.

の形の (2.5) に対応する解を得る。 A, g, h の τ, ς 依存性は $O(\delta^{\frac{3}{2}})$ の方程式の solvability condition り

$$\left\{ \begin{array}{l} (\partial_z - \alpha \partial_{zz} - \beta + \beta g_z - \gamma h_z) A = 0 \\ (\partial_z - \alpha \partial_{zz}) g = \frac{\ell^2}{2} (A^*)_z \\ (\partial_z - \alpha \partial_{zz}) h = \frac{\ell^2}{2} (A^*)_z \end{array} \right. \quad (2.11)$$

となる。ただし、 α, β, γ は正の定数である。

$$\alpha = 12 \ell^4 / D, \quad \beta = 2 \ell^2 R_c / D, \quad \gamma = 2 \ell^2 R_s / \lambda D$$

$$D = R_s / \lambda^2 - R_c + 4 \ell^4 / \alpha \quad (2.12)$$

である。この結果に、条件 (2.3) を使い $\delta \ll 1$ であることから $R_c = R_s + \frac{1}{\sigma}$ とすれば、(2.11) は 10^6 ラメー $\times R_s$ だけで特徴づけられる。(註の δ から δ' への変更を行うと (2.11) の第一式の βA の項のみが $\frac{1-\lambda}{\lambda} \beta A$ に変わる。)

また、最初に示した Stern の解は $\partial_z = 0$ とした時の $(A, g, h) = (e^{\beta z}, 0, 0)$ であることがわかる。

§ 3. モデル方程式の解

層構造を考える際、空間的周期解が特に興味を引くものとなる。この節では定常解と同時に、二つの空間的周期解になる可能性のある局所解について数値計算の結果を先取りする形で述べる。

① 定常解

式 (2.11) の定常解は 構円函数 により。

$$A^{(s)} = \left\{ \frac{4\beta}{l^2 \Gamma_2} \frac{k^2 K(k)}{2E(k) - (1-k^2)K(k)} \right\}^{\frac{1}{2}} \sin \left[\left\{ \frac{\beta}{l^2} - \frac{K}{2E - (1-k^2)K} \right\}^{\frac{1}{2}} S, k \right]$$

$$g^{(s)} = \lambda^2 F^{(s)} = \left\{ \frac{16\alpha\rho}{l^4 \Gamma_2^2} \frac{K}{2E - (1-k^2)K} \right\}^{\frac{1}{2}} Z \left[\left\{ \frac{\beta}{l^2} - \frac{K}{2E - (1-k^2)K} \right\}^{\frac{1}{2}} S, k \right]$$

$$(\Gamma_2 = \frac{\pi}{\lambda^2} - \beta) \quad (3.1)$$

と表わせる。ここで $K(k)$, $E(k)$ は第一種・第二種の完全積分、 $Z(x, k)$ は Jacobi のゼータ函数である。母数 k は heat-salt Flux (F_T, F_s) の大きさを

$$F_T = \overline{wT - T_S} = - \frac{2\beta}{\Gamma_2} \frac{K - E}{2E - (1-k^2)K} = \lambda F_s \quad (3.2)$$

と決定し、 $0 \leq k < 1$ で F_T, F_s は 0 から無限大まで単調増加する。また、 k は A, g, λ の最大値を決定するだけでなく波長を決定し、 $k = 0$ で最小波長 $2\pi \sqrt{\frac{4}{\rho}}$ となる。つまり。

非常に短い周期の流れ場は定常的には存在できないことがわかる。図 3.1 にこの流れを模式的に示した。

定常解の安定性について
では前回の発表で詳しく述べたが、高調波擾乱に対しても常に安定であり、低波数の擾乱に対しては多くのものについて不安定であった。

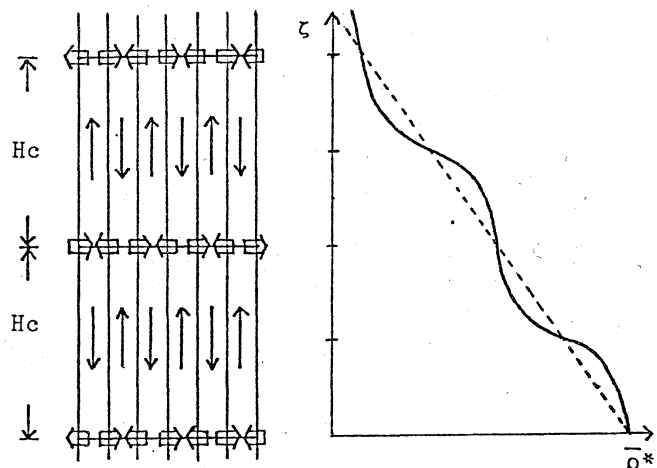


図 3.1. Schematic sketch of flow configuration and of mean density profile. The dashed line indicates the unperturbed linear distribution.

② 矩形の解

Stern の解の拡張として $\partial_s A = \partial_{ss} g = \partial_{ss} h = 0$
である解を考えることができる。このとき (2. 11) は

$$A_z - (\beta - \beta g_5 + \sigma h_5) A = 0 \quad (3.3)$$

$$g_z = h_z = 0$$

となり、 $g_5 = \text{const.}$ $h_5 = \text{const.}$ で $\beta - \beta g_5 + \sigma h_5$ の正負により A の絶対値は増大あるいは減少する。この形を局所解としてもち、半波長ごとに A, g, h の値の正負が逆転しているような周期解を考えることができる。これを模式的に示すと図 3.2 のようになる。

局所解を接続する狭い境界領域では A, g, h の拡散効果が強くなろうが、 $|A|$ の増加率が大きければ箱型は崩れないであろう。また $k \rightarrow 1$ の定常解はこの矩形解に類似した形をもつ。

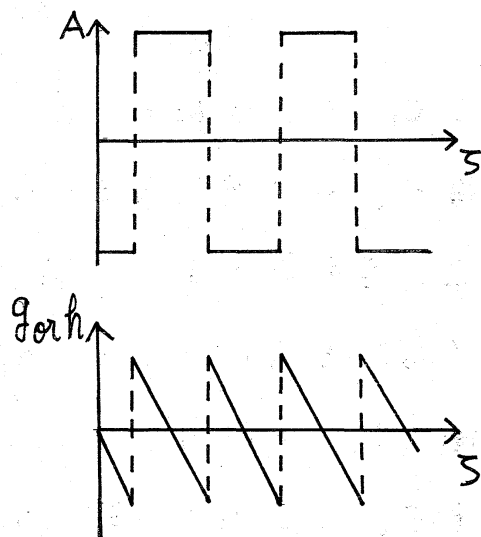


図 3.2

③ 進行波解

熱塩対流では $\lambda \sim 0.01$ であるので、定常解でも示されるように g は h に比べて小さく役割しが果さない。式 (2. 11) で g を無視し、 A, h の拡散効果も小さい——つまり、 $\lambda \ll 1$

を仮定して、(2.11)を書き直すと

$$\partial_z A - \beta A - \sigma h_s A = 0 \quad (3.4)$$

$$\partial_z h = \frac{\ell^2}{2\lambda} (A^2)_S$$

が得られる。 A, h の ζ に対する変化が十分なめらかならば(3.4)は(2.11)のより近似となるであろう。式(3.4)を A^2 に対する方程式に書き直し h を消去すれば

$$(\log A^2)_{zz} = \frac{\sigma \ell^2}{\lambda} (A^2)_{SS} \quad (3.5)$$

となる。進行波形の解を考えるため、新しい変数 $\xi = z + ct$ を導入し両辺を二回積分する。解

$$\log A^2 - \frac{\sigma \ell^2}{\lambda c^2} A^2 = C_1 \xi + C_2 \quad (3.6)$$

(C_1, C_2 は積分定数)

を得る。この解は図3.3のように表わせ。 ξ 全体つまり空間全体を覆うこととはできない。また、解としては上側の L_1 、下側の L_2 の二つの可能性をもつ。(2.11)の解との対応を考えると、 L_1, L_2 どちらの分枝をとる

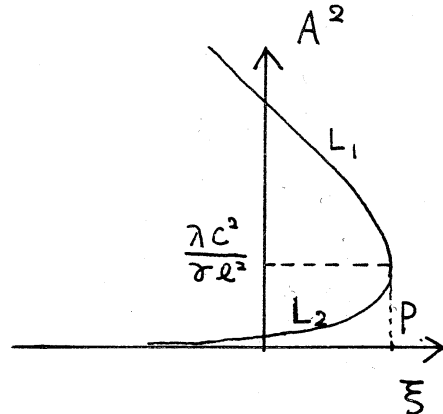


図3.3

にしても解の延長ができなくなる点Pでshockを伴なうことが予想される。shockの位置PでのAの大きさは
 $A_0 = \sqrt{\frac{\lambda}{\sigma \ell^2}} |C|$ と速度に比例している。周期的にshockを置きその間を L_1 を使、て結ぶと図3.4のようになる。

(3.4) の式の積分より

$$h_{\max} - h_{\min} = \frac{l^2}{2\lambda C} (A_{\max}^2 - A_0^2)$$

であり。 $h_{\min} \approx -h_{\max}$ の時。

$$h_{\max} = \frac{l^2}{4\lambda C} (A_{\max}^2 - A_0^2) \quad (3.7)$$

の関係がある。

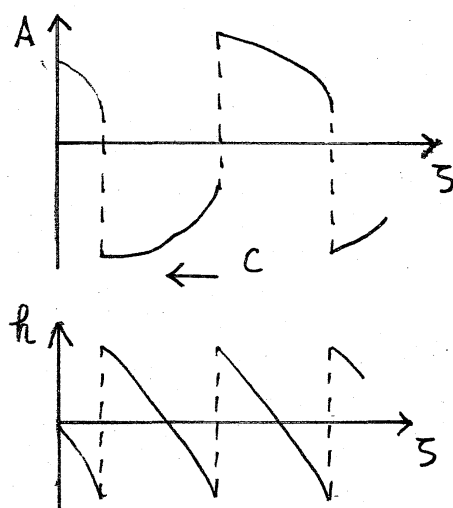


図 3.4

4. 数値計算

式 (2.11) を周期的境界条件の下で Crank-Nicholson の方法を用いて解いた結果を以下に示す。常温での熱・塩分の物質定数より $\lambda = 0.01$, $\sigma = 10$ とした。また、線形安定論では R_s が非常に小さな場合を除き同じような結果となるので $R_s = 10$ の場合のみを詳しく調べる。

各図の左側には A の空間変化を左下に示した時間ごとに重ねて書いてあり、右側には Fourier 成分の時間変化を示してある。Fourier 成分の波数は定常解の周期に対応するものを 1 としてある。また、Fourier 成分の図中の縦の破線は左側の図の各時刻を示し、位相の風は適当な波数のものの変化であるが、説明は略した。初期値は定常解に擾乱を加えたものを用い、擾乱の大きさは定常解の (I) 20% の擾乱、(II) 50

$$\lambda = 0.01, \sigma = 10, R_s = 10, R_c = 10.1$$

$$l = 3.96, \alpha = 0.0296, \beta = 0.00318, \delta = 0.314$$

[1波長; ($k^2=0$) 19.2, ($k^2=0.2$) 20.2, ($k^2=0.6$) 23.0, ($k^2=0.9$) 27.4]

倍 波 数 安定 (例 $k^2 = 0.6$, 20% の攪乱; 図 4.1)

$1/3$ 波 数

	$k^2 = 0.2$	$k^2 = 0.6$	$k^2 = 0.9$
I 20% の攪乱	弓形の進行波	弓形の進行波 (図 4.4 a,b)	矩形(成長) (図 4.2 a,b)
II 50倍の攪乱	くずれた矩形? (減少) ↓?	矩形(ほとんど定) (図 4.5 a,b)	矩形(成長) (図 4.3 a,b)

表 4.1

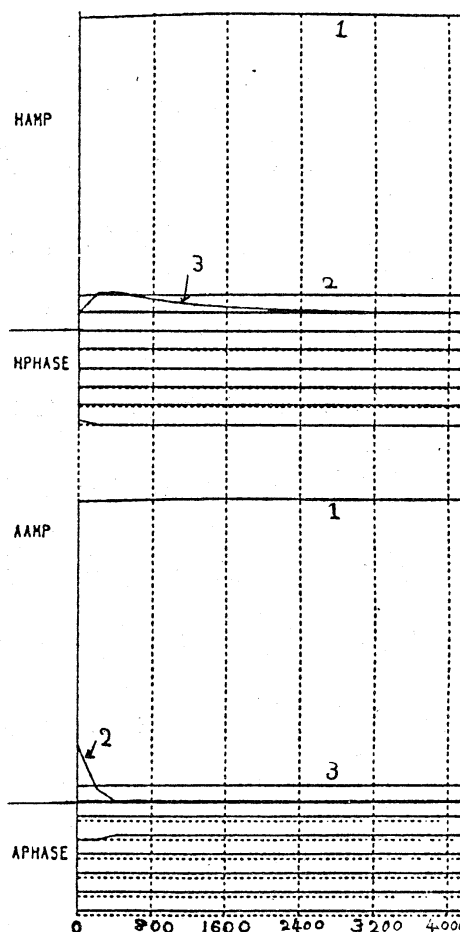
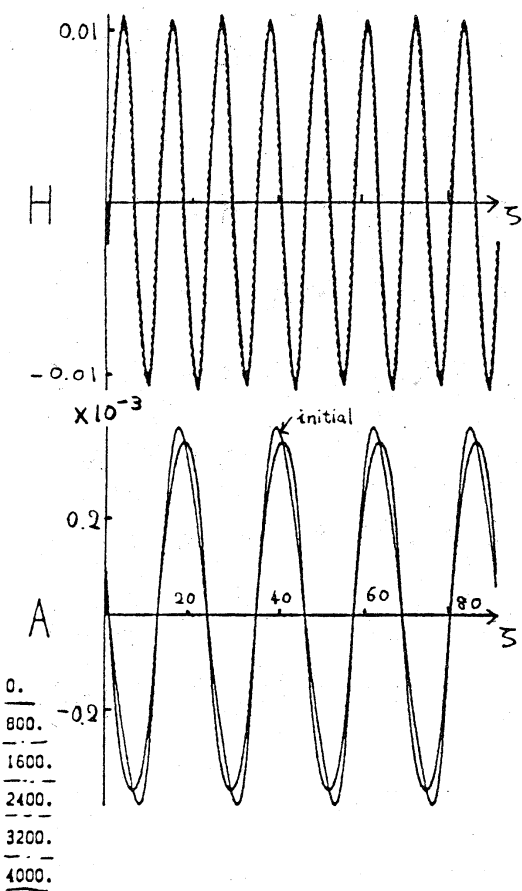


図 4.1

$$k^2 = 0.6$$

倍の擾乱の二種であり、他の条件と共に表4.1にまとめて記す。図4.1は倍波数の擾乱であるが急速にdampする様子がわかる。非常に大きい(50倍)擾乱の場合にも同様なdampを示し、線形安定論と一致する結果を得た。図4.2~5はいずれも $1/3$ 波数の擾乱を与えた場合であり、定常状態は不安定である。 a の図はごく初期の状態を、 b の図は A の変化がある程度落ち着いた時刻での様子を示す。 $k^2 = 0.9$ の場合を示す図4.2と図4.3は最終的に A の成分が指数的に増大し、 $\S 3$ の⑨矩形の解に近いように思われる。時間変化を詳しくみると図4.2 a で $1/3$ のFourier成分は指数的に増大してゆくが、 $t=1000$ くらいで A, h 共にいくつかのFourier成分の成長の変化が起っている。この変化は図を略した $1500 < t < 3000$ において A, h の $1/3$ 成分の増加を一時止め、 A に対しては $t=1500$ で少し現れている水平部の変動を引き起し(風毛 α , 前講究録 Fig. 6. aを参照) h のFourier成分の振動を発生させる。その後、 $t > 3000$ では b 図のような成長する矩形解となる。 h のFourier成分の変動は続いているが、大まかには図3.2のような空間変化となっている。図4.3は大きな擾乱からの変化であるが、極く初期を除けばほぼ同一の A の矩形解の増大を示している。しかし、 h は図3.2とは異なり大きなchaoticな変動を示す。この理由はよくわからぬが、

138

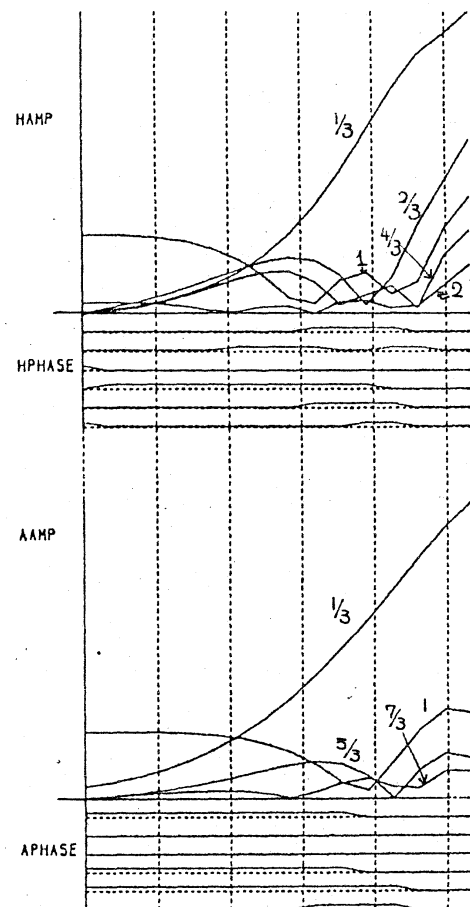
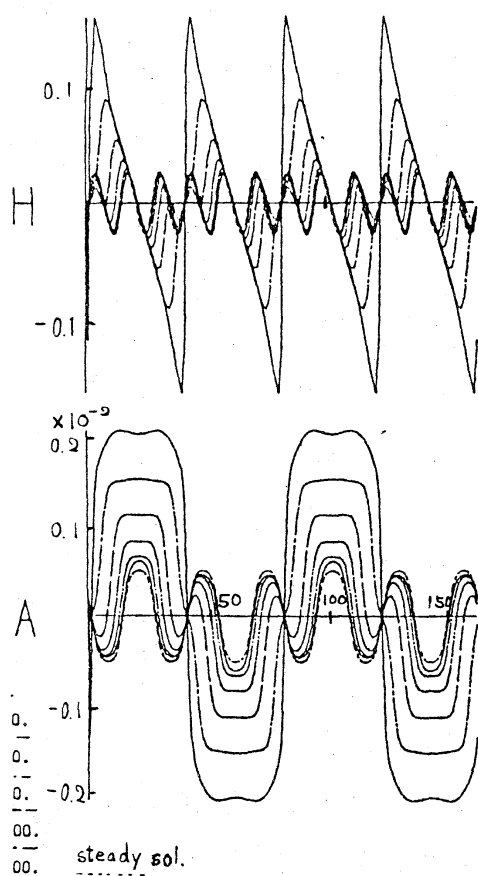


図 4.2a

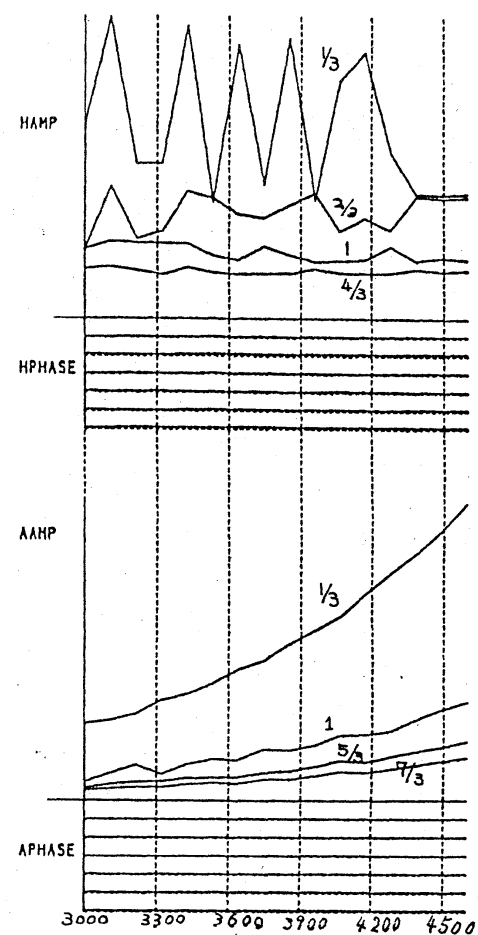
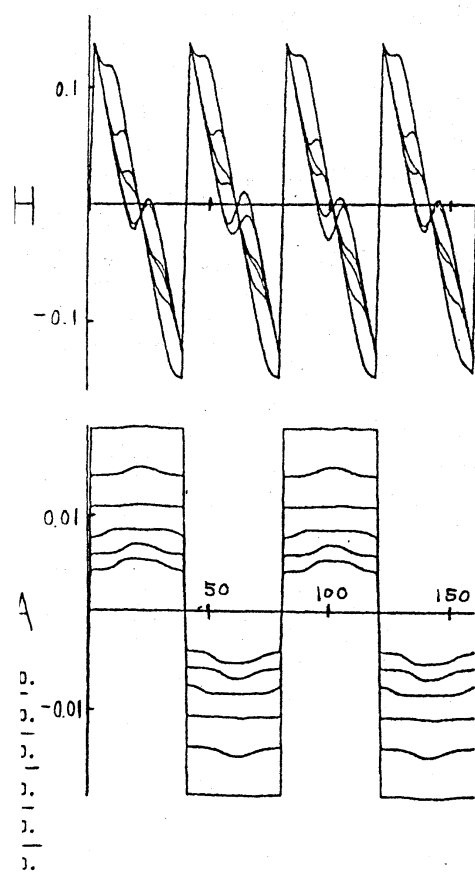


図 4.2b

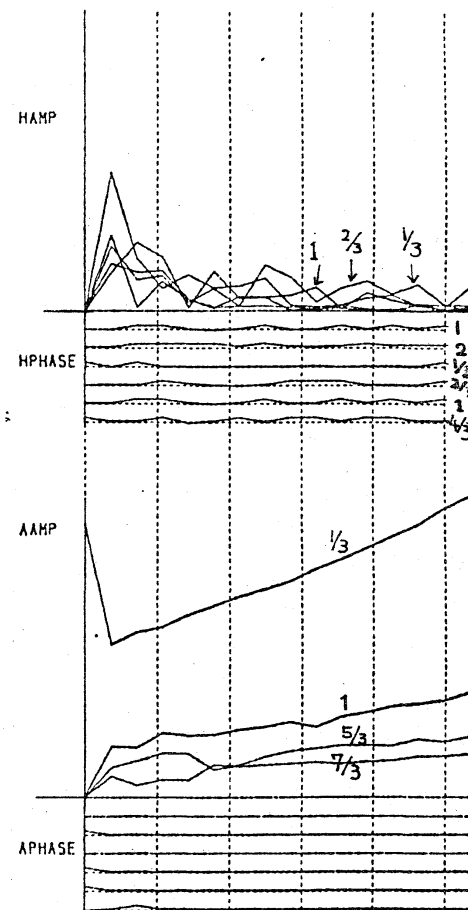
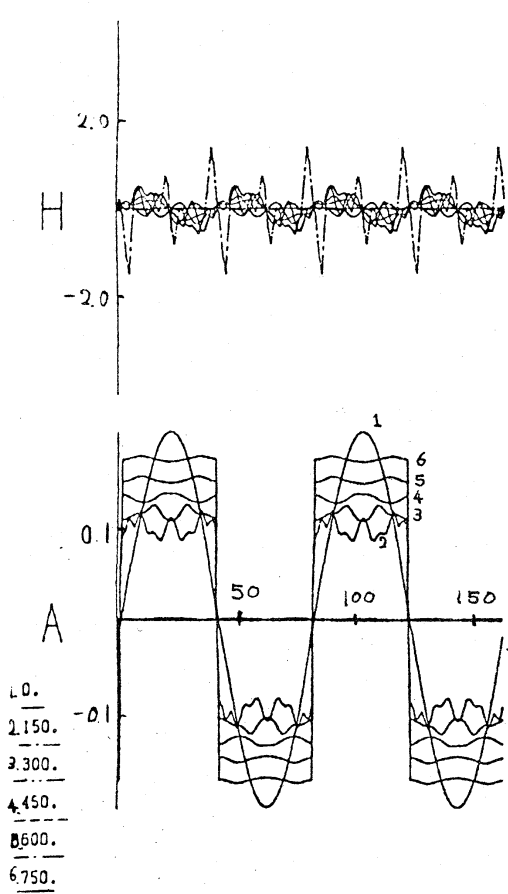


图 4.3 a

$$k^2 = 0.9$$

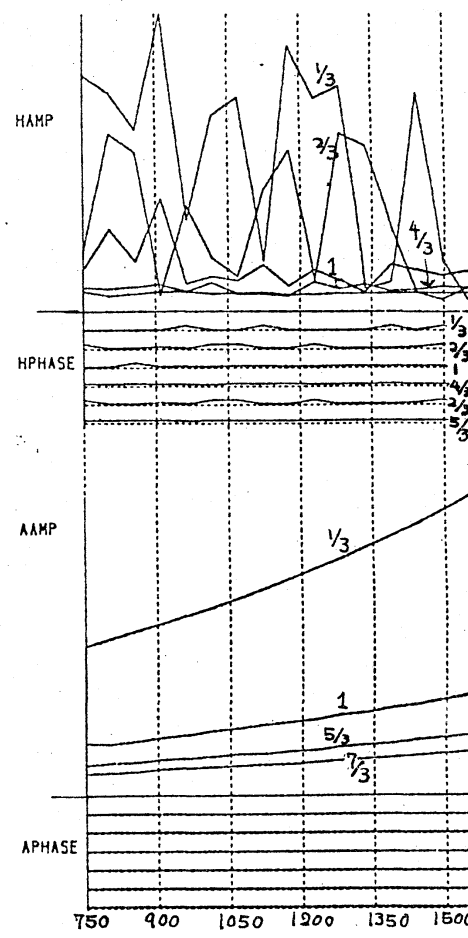
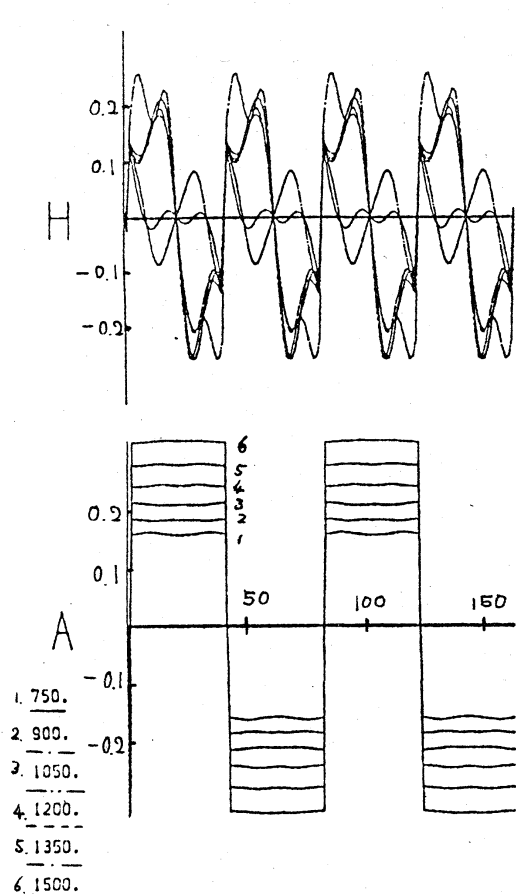


图 4.3 b

$$k^2 = 0.9$$

g/ρ の大きさが定常解に比べ大きいこと、 A の成長は β の大きさとほぼ等しいことが関係していると思われる。

$k^2 = 0.6$ の小擾乱の場合、図 4.4 b のような §3-③ 弓形進行波解が得られる。初期の時間的変化(図 4.4 a)は図 4.2 a と同様な経過を示しているが、その後の A の水平部の変動、その振動の中から進行波が出現している。進行波は $4000 < t < 10000$ の時間で観察され、数値誤差と思われる低波数成分により break した。進行波の速度 C は $C \sim 0.04$ であり、shock 付近での高さは $A_0 \sim 1.8 \times 10^{-3} \times (3.6)$ より予想される $A_0 = \sqrt{\frac{2}{\delta k^2}} |C| \sim 2.1 \times 10^{-3}$ によく一致している。また、 $h_{max} \propto A_{max}$ 、 $A_0 \propto$ の関係(3.7)もほぼ成立しているのが確かめられる。図 4.4 b で C は負であり、現実の系では下方へシルトフィンガーが沈んでゆく解となっている。速度の大きさは δ に依存するが、最も速くなる $\delta \sim 1$ の場合海中の Brunt Väisälä frequency を用いた計算で数日で一浪長進む程度である。同様な振舞は $k^2 = 0.2$ の 20% の擾乱においても見い出され、 k^2 が小さい—小さな周期をもつ擾乱では進行波の現象が一般的であると期待される。

$k^2 = 0.6$ の 50 倍の擾乱に対しては図 4.5 b の大きさのはほとんど変化しない矩形解が得られる。初期の擾乱は他の Fourier 成分との相互作用により少し減少するが、以後増大も減少も

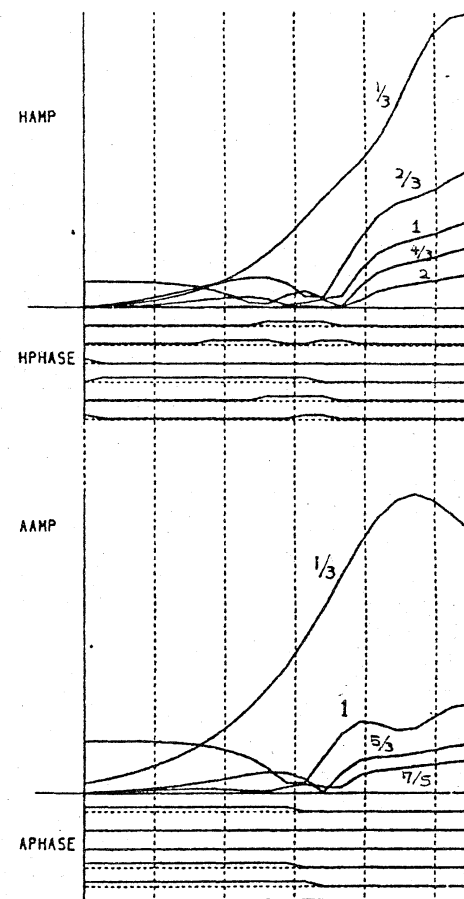
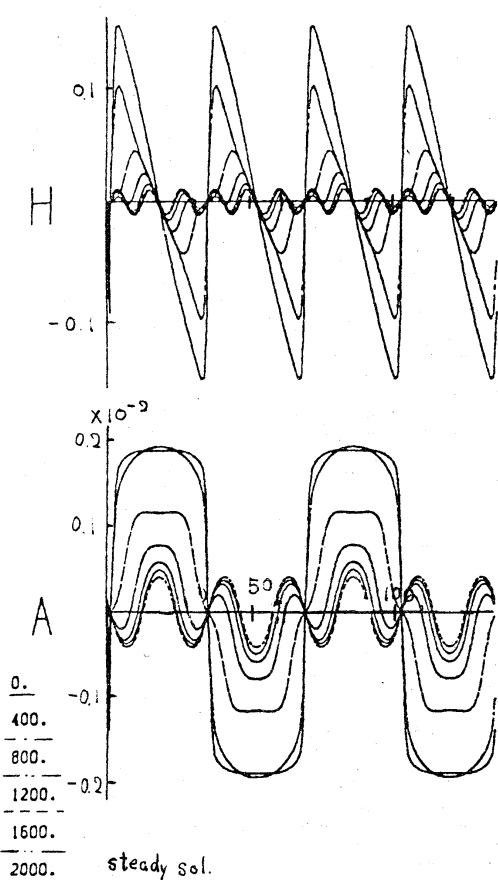


図 4.4a

$$k^2 = 0.6$$

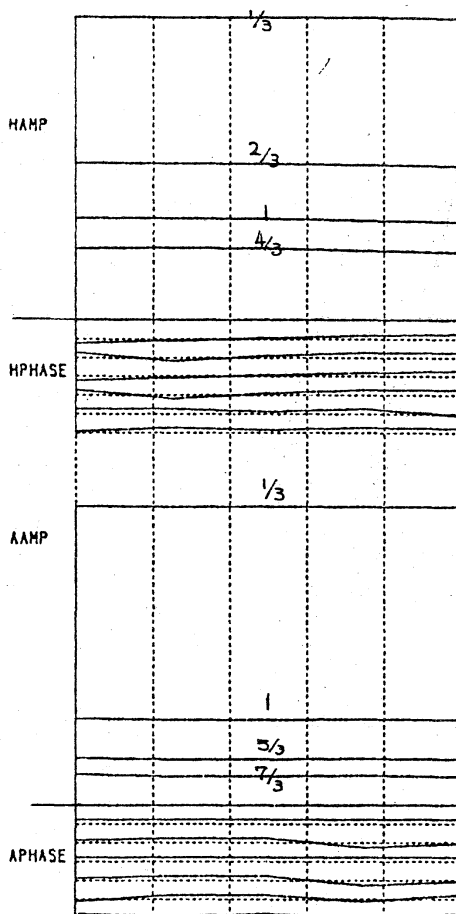
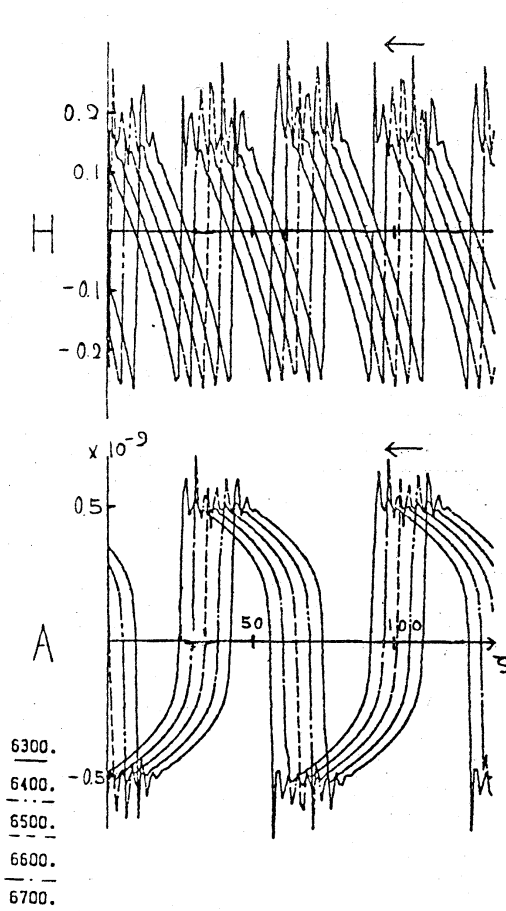


図 4.4b

$$k^2 = 0.6$$

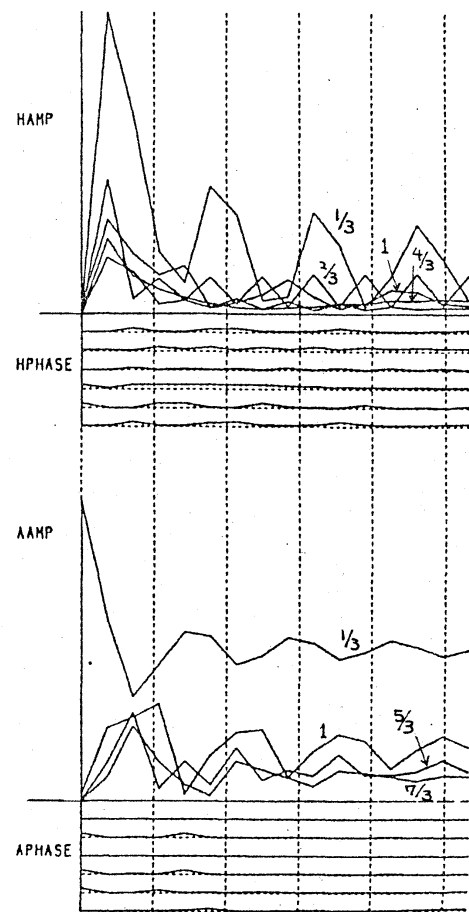
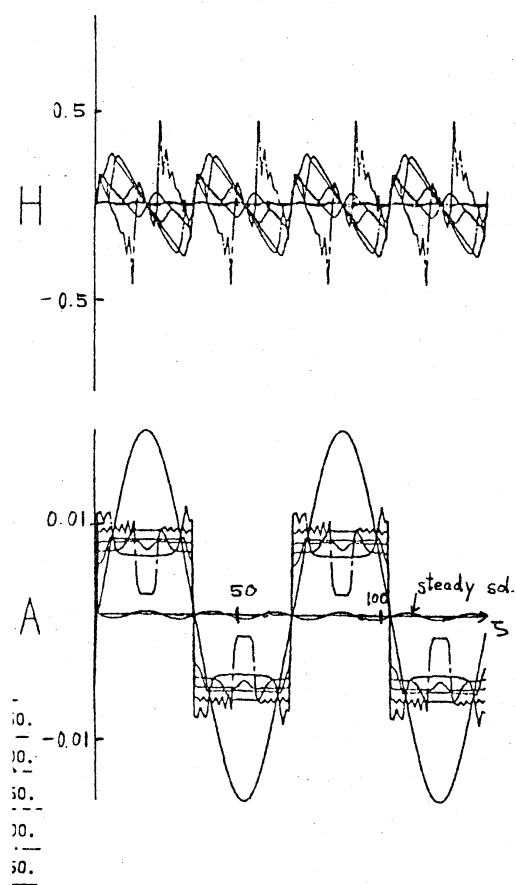


Fig 4.5a

$$k^2 = 0.6$$

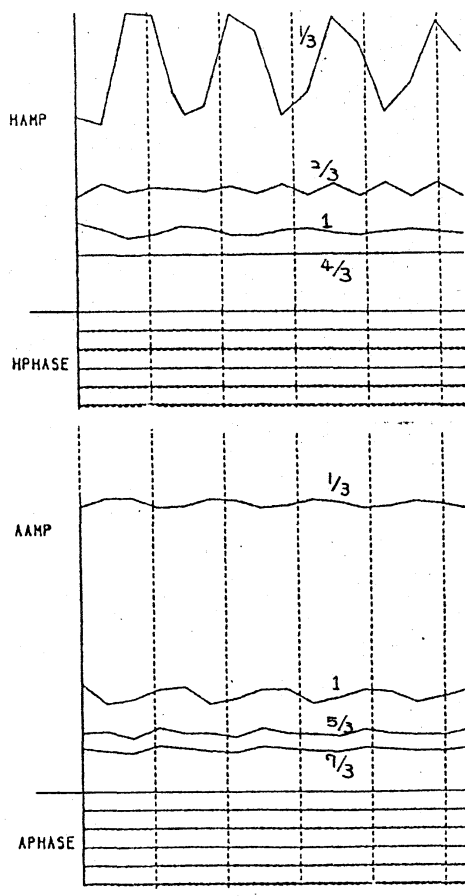
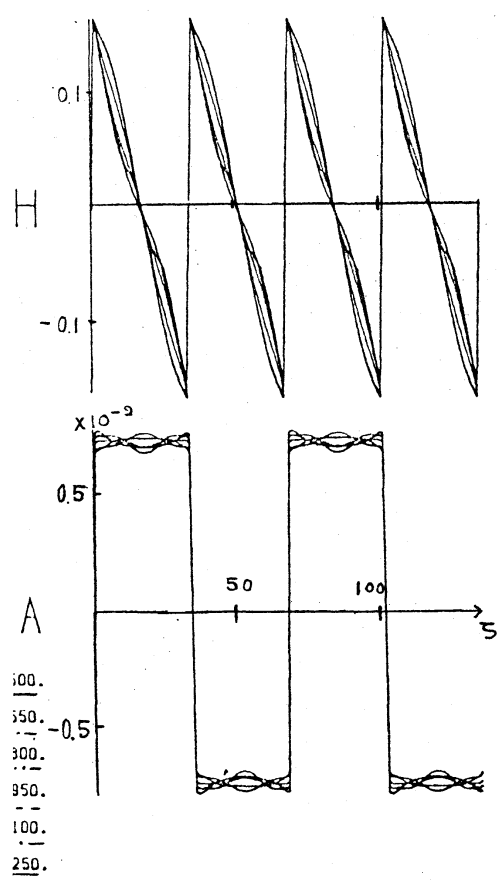


Fig 4.5b

$$k^2 = 0.6$$

せず A, か両方が小さな振動を矩形解(3. ⑨)のまわりに繰り返す。振動は減衰的な傾向も示すが必ずしも明確ではない。 $k^2 = 0.2$ の場合は、図 4.5a のような A の複雑な形の矩形が変動しながらや、くりと減少してゆくのが観察されるが、最終状態はは、きりしたかった。

表 4.1 にこうした結果をまとめてある。 $\frac{1}{3}$ の擾乱の場合、大部分の case で時間的にはほぼ相似な解(特に A について)となり、 $k^2 = 0.6$ 付近の境にしてその解の性質が変っているようみえる。方程式(2.11)は k^2 に依存していないので、 $k^2 = 0.6$ の定常解の 3 倍波長 $3\pi \sim 70$ らいを境に空間的周期解の性質が異なる、ていると言えるだろう。いずれにしても、矩形解、波形進行解で A の変化の少ないためらかな部分でシルトフィンガーが観察され、A の急速に変化する境界領域の部分では乱れた流れの場をつくるに違いない。このシルトフィンガー間に乱れた領域を挟んだ形は Stern & Turner (1969) の実験結果と一致している。最後に、進行波解の速度 c は 5.3 の議論では決定できない。このため、ある状態からどんな大きさの進行波解が出現するかという問いは今後の課題として残されている。

[参考文献]

楠本・石井 「三成分対流の層形成」, 数理研講究録「ナビエ.

ストークの解」, 1981.12

Stern & Turner Deep-Sea Res. 16 (1969) 497

Tait & Howe Deep-Sea Res. 15 (1968) 275

山口昌哉編著 入門「現代の数学[1] 非線型の現象と解析」, 明評論社
1979